

پایش مقاومت ویژه الکتریکی سنگ حین آزمایش مقاومت فشاری تکمحوری در آزمایشگاه

احمد قربانی^{*}^۱، حسینعلی قاری^۱ و افشن نمیرانیان^۱

^۱دانشکده مهندسی معدن و متالورژی، دانشگاه یزد

(تاریخ دریافت: ۱۳۹۰/۲/۳۱، تاریخ پذیرش: ۱۳۹۰/۹/۳۰)

چکیده

ارتباط خواص مکانیکی سنگ‌ها با خواص فیزیکی (روش‌های ژئوفیزیکی)، موضوعی است که اخیراً مورد توجه محققان قرار گرفته است. در این میان روش‌های الکتریکی و لرزه‌ای بیشترین کاربرد را دارند. در این مقاله، عبور جریان الکتریکی در حین اعمال تنش فشاری در آزمایشگاه بررسی شده است.

پس از نصب الکترودهای مخصوص روی ۷ نمونه مغزه تقریباً اشعاع، آزمایش مقاومت فشاری تکمحوری و عبور جریان الکتریکی از نمونه‌ها به طور همزمان صورت پذیرفت و تغییرات مقاومت ویژه الکتریکی در حین بارگذاری اندازه‌گیری شد. ماسه سنگ‌ها افزایش مقاومت ویژه و سنگ‌آهک‌های فسیل‌دار کاهش مقاومت ویژه در سراسر محدوده افزایش کُرنش نشان دادند. تراووتون‌ها و سنگ آهک با افزایش کُرنش در ابتدا افزایش مقاومت ویژه و سپس کاهش مقاومت ویژه نشان دادند. رفتار مقاومت ویژه حین بارگذاری به بسته شدن منفذها (کاهش تخلخل) در کُرنش‌های کم و ایجاد درزهای القایی (افزایش تخلخل) در کُرنش‌های بیشتر ارتباط داده شد.

واژه‌های کلیدی: رسانایی الکتریکی، آزمایش مقاومت فشاری تکمحوری، مدول کشسانی، مقاومت ویژه الکتریکی، پتروفیزیک

Electrical resistivity monitoring of rock samples during uniaxial compression test

Ahmad Ghorbani ^{*}^۱, Hossein Ali Ghari ^۱ and Afshin Namiranian ^۱

^۱Department of Mining and Metallurgical Engineering, Yazd University, Iran

(Received: 21 May 2011, accepted: 21 December 2011)

Summary

The study of the physical properties (geophysical methods) of rocks associated with its mechanical properties has recently received lots of attention. Recent studies show that geophysical methods especially the seismic and geoelectric methods are able to estimate the mechanical parameters and recognize their spatial variations, including anisotropy. Meanwhile, electrical and seismic methods are the most used one.

Electrical measurement is one of the non-invasive geophysical methods commonly used by engineers working in various fields such as mining, geotechnical, civil, underground

*Corresponding author:

aghorbani@yazduni.ac.ir

^{*}نگارنده رابطه:

engineering as well as oil and gas mineral explorations. This method can be applied both in laboratory and in the field. Numerous scientists have focused on the relation between resistivity and porosity. However, there is a very limited study on the relation between the electrical resistivity and the rock properties apart from porosity.

In this paper, changes in the electrical conductivity of rocks during a uniaxial compression test were investigated in laboratory. The uniaxial compressive strength, elastic modulus, and density values of the samples were determined in laboratory. We installed special electrodes on seven nearly saturated core samples in order to measure the resistivity. Core samples had a 52-mm diameter and a 110-mm length. Two-electrode as well as four-electrode arrays were both used in resistivity monitoring in laboratory. Using a four-electrode array minimized the undesirable electrode polarization effects. In the four-electrode array, we used two non-polarizing Ag/AgCl electrodes mounted on the core sample. Our laboratory observations showed that there was not any electrode polarization effect. When we used a two-electrode array, the resistivity changes were less than 5 percent compared to a four-electrode array. In our laboratory investigation, we used different sedimentary core samples including sandstone, fossiliferous limestone and travertine. Maximum resistivity observed for the travertine core sample was less than 12 kohm. During the uniaxial compressive test, deformation measurements were made and the stress-strain curves were plotted. Tangent Young's modulus values were obtained from stress-strain curves at a stress level equal to 50% of the ultimate uniaxial compressive strength.

Sandstone core samples showed a resistivity increase in the whole strain range. On the contrary, the fossiliferous limestone samples (thin section showed that the sample was composed of tiny calcium fossils in a fine aggregate of micrite cementation) showed a resistivity decrease in the whole strain range. Travertine and limestone showed an intermediate behavior (resistivity increased in the lower strain and it decreased in the higher range). In other words, the onset of new crack formation occurs well inside the quasi-linear part of the stress-strain curve. The quasi-linear portion of the stress-strain curve was the result of a competition between closure of one population of cracks, and the growth of new propagation of the existing cracks.

Resistivity behavior during a uniaxial compression load is closely related to the pores in the lower strain ranges and then to the new induced fractures in higher strains. Our results showed that the electrical resistivity may be a representative measure of the rock properties. Additionally, the effect of certain minerals on the rock's resistivity must be taken into account. The results indicated that the rock structure had an important effect on the resistivity behavior during a mechanical loading.

Key words: Electrical conductivity, uniaxial compression test, elasticity modulus, electrical resistivity, petrophysics

روش‌های مستقیم تعیین خواص مکانیکی سنگ‌ها هزینه‌بر هستند. از طرفی این روش‌ها پارامترهای مکانیکی را به طور موضعی تعیین می‌کنند. نتایج کارهای تحقیقی در سال‌های اخیر نشان می‌دهد، از مجموعه روش‌های ژئوفیزیکی، می‌توان پارامترهای مکانیکی را برآورد و تغییرات مکانی این پارامترها، نظیر ناهمسانگردی را پیش‌بینی کرد (اسلیتر

۱ مقدمه

اندازه‌گیری‌های الکتریکی و لرزه‌نگاری کم عمق از روش‌های غیرتخریبی ژئوفیزیکی هستند که در کارهای متفاوت مهندسی مانند ژئوتکنیک، معدن، عمران و مهندسی مخازن نفت و گاز به کار می‌روند. این روش‌ها در مقیاس آزمایشگاهی و در صحراء به کار رفته است. عموماً

نمونه‌های مغزه بدست آمده از منطقه برشی گسل را اندازه‌گیری و با UCS، مدول‌های کشسانی، اندیس بار نقطه‌ای، سرعت موج طولی، اندیس چکش اشمیت، چگالی و تخلخل نمونه‌ها ارتباط دادند. تحقیق آنها ارتباط لگاریتمی بین UCS، مدول‌های کشسانی و مقاومت ویژه الکتریکی را نشان داد. روابط ریاضی داده شده میان خصوصیات متفاوت سنگ، کاربردی است و به عوامل گوناگونی مانند نوع سنگ و شرایط و چگونگی اجرای آزمایش بستگی دارد.

اغلب سنگ‌ها و خاک‌ها جریان با یون‌های محلول در آب موجود در منفذ‌های سنگ انتقال می‌یابد. مقاومت ویژه به خواص تخلخل، شوری سیال منفذها، درصد اشباع آب، محتوی رُس، دما و فشار مرتبط است (آرجی، ۱۹۴۲). معادله تجربی آرجی (۱۹۴۲) انطباق خوبی با سنگ‌های بدون رُس مانند ماسه سنگ‌های تمیز برای دارد. در این معادله پارامترهای تخلخل و اشباع آب با مقاومت ویژه ارتباط داده شده‌اند:

$$\rho = \rho_w \cdot \varphi^{-m} \cdot S^{-n} \quad (1)$$

؛ گلور و همکاران، ۲۰۰۷).

تحقیقات گوناگون رفخار مهندسی سنگ‌ها را در آزمایشگاه بررسی کرده‌اند و روابط تجربی متفاوتی بین مقاومت ویژه سنگ و مقاومت مکانیکی آن (UCS، مدول یانگ و اندیس بار نقطه‌ای)، سرعت امواج کشسان و چگالی، توسعه داده‌اند که لزوماً نتایج آنان مؤید یکدیگر نبوده است (جدول ۱).

تحقیقات بسیار کمی در ارتباط بین مقاومت ویژه الکتریکی و خواص سنگ‌ها وجود دارد. کیت و استاپاک (۱۹۹۵) رفخار مهندسی سنگ‌های هیمالیا را بررسی کردند و روابط تجربی گوناگونی بین مقاومت ویژه الکتریکی سنگ و مقاومت مکانیکی آن توسعه دادند. از جمله ارتباط لگاریتمی بین مقاومت فشاری تک محوری (UCS) و مقاومت ویژه الکتریکی. در مطالعه آنها، UCS با افزایش مقاومت ویژه الکتریکی افزایش می‌یافتد. بیلیم و همکاران (۲۰۰۲) مقاومت ویژه نمونه‌های مصنوعی سنگ تحت فشار را اندازه‌گیری کردند. مطالعات آنها نشان داد که افت ولتاژ با افزایش مقاومت سنگ و چگالی کاهش می‌یابد. قهرمان و آلبرت (۲۰۰۶) امپدانس الکتریکی

جدول ۱. روابط داده شده بین سرعت موج طولی، مقاومت فشاری تک محوری، مدول یانگ، چگالی و مقاومت ویژه الکتریکی.

رابطه	محقق
$UCS = k.(Density)V_p + A$	اینو و اهمی (۱۹۸۹)
$UCS = 9.9 V_p^{1.21}$	قهرمان (۲۰۰۱)
$UCS = \exp(-11.2/V_p)$	مک نالی (۱۹۸۷)
$UCS = 0.0642 V_p - 117.99$	شارما و سینگ (۲۰۰۸)
$UCS = 22.03 V_p^{1.247}$	سوزا و همکاران (۲۰۰۵)
$UCS = 35.54 V_p - 55$	ترگرول و ظرفی (۱۹۹۹)
$V_p = 0.0317 UCS + 2.0195$ $V_p = 0.0937 E + 1.7528$	یاشار و اردوغان (۲۰۰۴)
$E = 14.15 \ln(Res) - 29.07$ $UCS = 61.7 \ln(Res) - 138.25$	قهرمان و آلبرت (۲۰۰۶)

UCS = مقاومت فشاری تک محوری، E = مدول کشسانی، Res = سرعت موج طولی، V_p = مقاومت ویژه الکتریکی است.

در این تحقیق، مقاومت ویژه الکتریکی ۷ نمونه حین آزمایش تنش تک محوری اندازه گیری شده و نتایج مورد بحث قرار گرفته است.

۲ نمونه‌ها و روش کار آزمایشگاهی

۱-۲ نمونه‌ها

هدف از عملی ساختن آزمایش‌ها، بررسی ارتباط بین خواص مکانیکی و الکتریکی نمونه‌های سنگی با ساخت و بافت‌های متفاوت تقریباً اشباع است. لذا هفت نمونه مغزه به قطر ۵۲ میلی‌متر و طول ۱۱ سانتی‌متر انتخاب شد. مغزه نمونه‌های مورد نظر به مدت ۱ تا ۱۳ شبانه روز در آب شرب قرار داده شدند. چگالی، مقاومت ویژه الکتریکی، مدول کشسانی و UCS آنها اندازه گیری شد (جدول ۲). پایش مقاومت ویژه الکتریکی نمونه‌ها حین آزمایش فشار تک محوری مطابق استاندارد ASTM صورت پذیرفت.

دو نمونه ماسه‌سنگ ۰-۴۱۱ و ۸-۰۹۱۱، به صورت تکراری از یک بلوک مغزه گیری شد. نمونه‌های آهک فسیلی ۰-۴۱۱ و ۱-۰۹۱۱ دارای بافت بسیار ریزدانه هستند (فسیل‌های ریز از جنس کلسیت در زمینه آهک میکریتی). مقطع نازک حکایت از وجود فسیل‌های ریز از جنس کلسیت دارد (شکل ۱). این دو نمونه در مدت زمان‌های متفاوت ۷ و ۱۰ روز در آب شرب قرار داده شدند تا اثر آب بر مقاومت مکانیکی و مقاومت الکتریکی آنها بررسی شود.

نمونه آهک ۰-۹۱۱، شیوه تراورتن دارای تخلخل و منفذها زیادی است که بعضی از منفذها آن با سیمانی از جنس کلسیت پر شده و دارای مقاومت مکانیکی کمتری شد. حدس زده می‌شود که رفتار آن شبیه سنگ‌های بُرشی در مناطق گسلی باشد.

S اشباع آب و m و n ضرایب ثابتی هستند. رابطه بین تخلخل و اشباع با مقاومت ویژه در نمودار لگاریتمی خط‌هایی به ترتیب با شیب‌های -m و -n هستند. این رابطه برای ماسه‌سنگ‌های شیلی قابل قبول نیست (پاتنود و ویله، ۱۹۵۰). ذرات رُسی دارای فعالیت الکتریکی سطحی هستند (وجود رسانایی سطحی). این فعالیت باعث می‌شود که مقاومت الکتریکی سنگ و خاک کاهش یابد؛ به خصوص در حالتی که درصد اشباع آب کم است. به هر حال وقتی اشباع آب زیاد است، مقاومت ویژه سنگ بیشتر تحت تاثیر شوری آب در منفذها است. مقاومت ویژه سنگ‌های رُسی به بسامد نیز وابسته است (قربانی و همکاران، ۲۰۰۹).

تحقیقات براس و همکاران (۱۹۶۵) روشن ساخت که مقاومت ویژه سنگ‌های بلورین در تنش‌های کم، افزایش و سپس در تنش‌های زیاد کاهش می‌یابد. تحقیقات کیت و گخال (۱۹۹۸) نشان داد که مقاومت ویژه با افزایش UCS کاهش می‌یابد. آرا و همکاران (۲۰۰۴) دریافتند که مقاومت ویژه نمونه‌های سنگ کربناته با ۲۰ درصد رُس و ۷۰ درصد اشباع آب با افزایش تنش محوری افزایش می‌یابد.

شن (۱۹۹۸) روشن ساخت که فشار جانبی، مقاومت ویژه را کاهش می‌دهد؛ این امر می‌تواند ناشی از بسته شدن درزهای میکرو درزهای در سنگ‌های خشک باشد. کیت و رائو (۱۹۸۹) نشان دادند که فشار جانبی، مقاومت ویژه سنگ‌های اشباع را افزایش می‌دهد که دلیل آن بسته شدن درزهای و کاهش اندازه منفذها است. آنها حدس زدند که با اعمال فشار جانبی بیشتر از فشار آب منفذی، نفوذپذیری کاهش می‌یابد. در این حال فشار آب منفذی اثر تخلخل را افزایش می‌دهد و در نتیجه مقاومت ویژه سنگ کاهش می‌یابد (گلور و همکاران، ۱۹۹۷، ۲۰۰۰).

جدول ۲. پارامترهای فیزیک و مکانیکی اندازه‌گیری شده روی ۸ مغزه در آزمایشگاه. ستون آخر مدت زمان قرارگیری نمونه‌ها در آب را نشان می‌دهد.

زمان (روز)	مقاومت ویژه (Ωm)	چگالی (g/cm ³)	مدول بانگ (GPa)	UCS(MPa)	شماره نمونه	نمونه
۵	۱۸۴۴	۲/۶۷	۸/۴	۲۰/۴	۱	تراورتن
۱	۱۱۶۰۰	۲/۶۸	۶/۹	۲۴/۳۴	۲	تراورتن
۳	۷۶۱۰	۲/۶۸	۹/۸	۲۳/۱	۱۵۰۹-۶	تراورتن
۷	۲۱۲	۲/۱۷	۸/۹	۴۳/۷۹	۰۴۱۱-۴	سنگ آهک فسیلی
۱۰	۸۳	۲/۱	۴/۳	۱۶/۹۵	۰۹۱۱-۱	آهک فسیلی
۳	۱۶۳۰	۲/۷۱	۵/۹	۳۱/۰۷۷۶	۰۴۱۱-۸	ماسه سنگ
۱۳	۹۴۰	۲/۶۸	۵/۹	۳۶/۷۲۸	۰۹۱۱-۴	ماسه سنگ
۱۳	۲۱۰۶	۲/۶۹	۴/۵	۱۵/۵۳۸	۰۹۱۱-۳	سنگ آهک

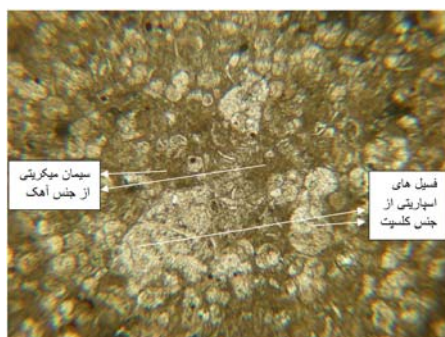
صرف نظر کرد. لذا اندازه‌گیری‌ها با اعمال روش دو الکترود صورت پذیرفت. الکترودهای جریان دارای قطر ۵۲ میلی‌متر هستند، لذا خطوط جریان به طور یکنواخت از همه سطح مقطع نمونه عبور می‌کند. دستگاه، مقاومت الکتریکی نمونه‌ها را در جریان مستقیم اندازه‌گیری می‌کند، با حاصل ضرب فاکتور هندسی آرایش (که فقط به محل قرارگیری الکترودها وابسته است)، مقاومت ویژه از رابطه زیر به دست می‌آید:

$$\rho = k \cdot R = k \cdot \frac{\Delta V}{I} = k \cdot \frac{A}{L} \cdot \frac{\Delta V}{I}, \quad (2)$$

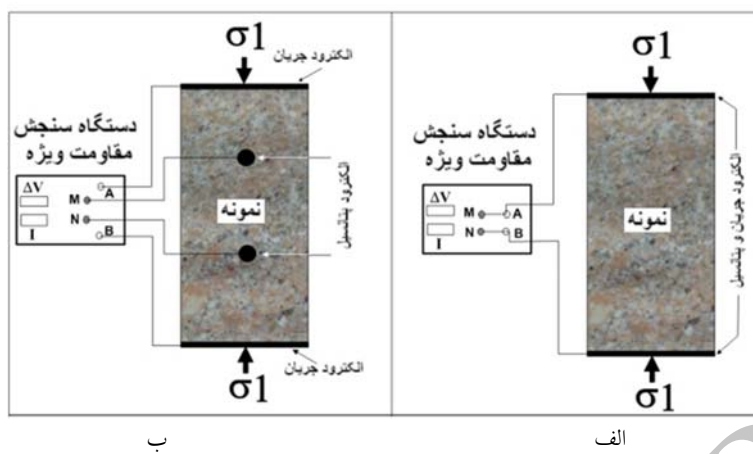
که k ضریب هندسی آرایش الکترودی، A سطح مقطع نمونه، L فاصله بین الکترودهای پتانسیل، ΔV اختلاف پتانسیل بین دو الکترود پتانسیل و I جریان عبوری از نمونه است.

۲-۲ اندازه‌گیری مقاومت ویژه الکتریکی نمونه‌ها حین بارگذاری

به منظور بررسی وجود اثر قطبیدگی الکترودی به عنوان استفاده از جریان الکتریکی مستقیم، مقاومت ویژه در هر دو روش دو الکترود و چهار الکترود اندازه‌گیری و مقایسه شد (قربانی و همکاران، ۲۰۰۹). در روش دو الکترود، الکترودهای جریان و پتانسیل بهم و به هر طرف از دو سر نمونه متصل می‌شوند (شکل ۲). در صورتی که در روش چهار الکترود، الکترودهای جریان به دو سر نمونه و الکترودهای غیر قطبی Non-(Ag/AgCl) polarizing electrodes به دو نقطه دیگر از نمونه متصل می‌شوند. مقایسه نتایج اندازه‌گیری مقاومت ویژه نمونه تراورتن ۱ نشان داد که اثر قطبیش الکترودی در هر دو حالت بسیار کمتر از ۵ درصد بوده است و می‌توان از آن



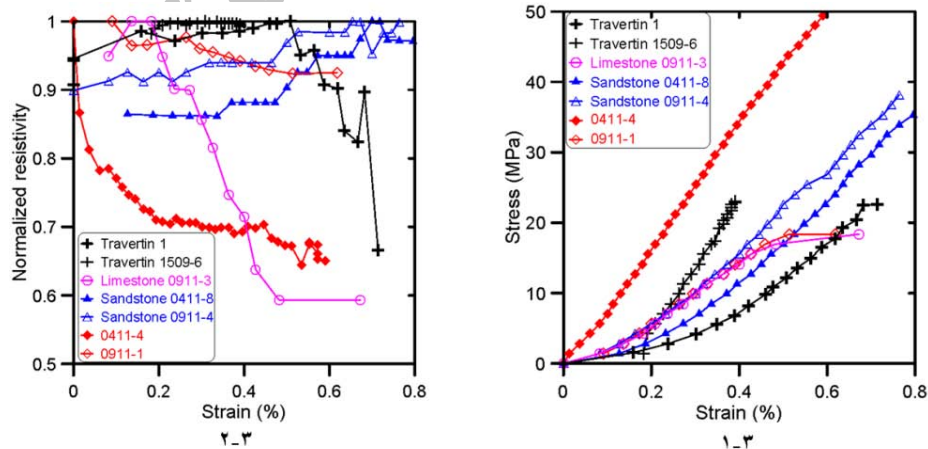
شکل ۱. فیلی‌های اسپاریتی از جنس کلسیت با سیمان میکرایتی در مقطع نازکی از نمونه سنگ آهک فسیل دار، ۰۴۱۱



شکل ۲. نمایی از آزمایش همزمان مقاومت ویژه و آزمایش تنش تکمحوری. اندازه‌گیری مقاومت ویژه با هر دو آرایه (الف) دوالکترودی و (ب) چهارالکترودی. A و B محل اتصال الکترودهای جریان، M و N محل اتصال الکترودهای پتانسیل.

به شدت کاهش می‌یابد. باید در نظر داشت که سیمان اتصال دهنده ذرات سنگ‌دانه ریز (سیمان میکریتی) است. نتیجه‌گیری بیشتر نیاز به آزمایش تکمیلی تعیین کانی‌های تشکیل دهنده سنگ دارد. هر دو نمونه تراورتن نیز منحنی‌های آزمون تکمحوری متفاوتی به دست می‌دهند. این مسئله به ساختار آنها یا نحوه کنار هم قرار گیری منفذها وابسته است. کمترین خواص مکانیکی مربوط به آنها ۰-۹۱۱ است.

شکل ۳-الف منحنی آزمایش مقاومت تکمحوری ۷ نمونه مغزه را نشان می‌دهد. نمونه‌های تکراری ماسه‌سنگ، منحنی یکسانی را نشان می‌دهند. نمونه‌های آهک فسیلی ۴۰۴۱۱ و ۱۰۹۱۱ منحنی‌های کاملاً متفاوتی را به دست می‌دهند. این اختلاف، به دلیل تفاوت در اشباع آب آنها است. مقطع نازک (شکل ۱) نشان می‌دهد که این سنگ از کنار هم قرار گرفتن مجموعه فسیل‌های ریز تشکیل شده‌اند. خواص مکانیکی این نمونه در اثر جذب آب



شکل ۳. (الف) نتایج آزمایش‌های همزمان تنش-گُنش تکمحوری و (ب) مقاومت ویژه الکتریکی-گُنش روی ۷ نمونه مغزه.

به دست آمده در اینجا همخوانی قابل ملاحظه‌ای با نتایج
براس و همکاران (۱۹۶۵) دارد.

۴ نتیجه گیری

آزمون تک محوری هم زمان با اندازه گیری مقاومت ویژه الکتریکی روی ۷ نمونه مغزه آهک، ماسه سنگ و تراورتن با ساخت و بافت‌های متفاوت صورت گرفت.

نمونه‌های متفاوت رفتارهای الکتریکی متفاوتی را حین آزمایش تک محوری نمایش دادند. ماسه سنگ‌ها افزایش و نمونه‌های آهک فسیل دار کاهش مقاومت ویژه الکتریکی را در سراسر محدوده افزایش گُرنش نشان دادند. تراورتن‌ها و آهک ۳-۰۹۱۱ رفتار بینابین داشتند، به طوری که با افزایش گُرنش در ابتدا افزایش مقاومت ویژه و سپس کاهش مقاومت نشان دادند. رفتار مقاومت ویژه به بسته شدن منفذها در ابتدا و ایجاد درزه‌های القایی در تشکیل ارتباط داده شده است. نتایج نشان می‌دهند که ساختار سنگ نیز اثر مهمی در رفتار مقاومت ویژه در حین اعمال تنش دارد. در آزمایش مقاومت فشاری تک محوری وقتی تنش‌ها به مقاومت فشاری تک محوری نهایی نزدیک می‌شود، چگالی درزه‌های القایی به بیشترین مقدار خود می‌رسد و هرچه مقاومت نهایی سنگ بیشتر باشد این چگالی درزه نیز بیشتر می‌شود.

منابع

- فهیمی فر، ا، و سروش، ح، آزمایش‌های مکانیک سنگ (جلد اول: مبانی نظری و استانداردها)، مرکز نشر پرسور حسابی، تهران.
 ولی، ج، کاظم‌زاده، ع، آلوکی بختیاری، ح و اصفهانی، م.ر، تاثیر شکل هندسی منافذ بر سرعت امواج لرزه‌ای در سنگ‌های کربناته مخازن هیدروکربوری، مجله فیزیک زمین و فضا، دوره ۴۹-۳۵، (۲)۳۵

شکل ۳-ب منحنی‌های مقاومت ویژه الکتریکی بهنجار-گُرنش به دست آمده حین آزمون تک محوری را نشان می‌دهد. مقاومت ویژه الکتریکی بهنجار از نسبت مقاومت ویژه بر بیشینه مقدار آن به دست آمده است. سنگ‌های متفاوت، رفتارهای متفاوتی نشان می‌دهند. در نمونه‌های ماسه سنگ، با افزایش گُرنش، مقاومت ویژه افزایش می‌یابد. در صورتی که در نمونه‌های آهک فسیلی ۴-۰۹۱۱ و ۱-۰۹۱۱ در سراسر محدوده افزایش گُرنش، کاهش مقاومت ویژه را نشان می‌دهند. نمونه‌های آهک ۳-۰۹۱۱ و تراورتن افزایش مقاومت ویژه در گُرنش‌های کم و سپس کاهش مقاومت ویژه در گُرنش‌های زیاد را نشان می‌دهند.

اگر مدل ساده‌ای از یک سنگ دانه‌ای همگن با تخلخل به نسبت زیاد مانند ماسه سنگ را در نظر بگیریم، به عبارت دیگر ذرات به صورت همگن کنار یکدیگر قرار گرفته باشند، افزایش گُرنش با کاهش تخلخل همراه خواهد بود و مطابق معادله آرچی (معادله ۱)، افزایش مقاومت ویژه را نتیجه خواهد داد. حدس زده می‌شود که نمونه‌های ماسه سنگ، حالتی نزدیک به مدل فوق نشان دهند (به نظر می‌رسد که در این نوع سنگ درزه‌های القایی کمتر نمودار می‌کنند).

مطابق شکل ۱ با توجه به اینکه نمونه‌های آهک فسیلی ۴-۰۹۱۱ و ۱-۰۹۱۱ از ذرات بسیار ریز و یکنواخت تشکیل شده‌اند (قطع نازک، شکل ۱). به نظر می‌رسد که اعمال تنش، باعث ایجاد درزه‌های القایی می‌شود و این درزه‌ها تا نقطه شکست افزایش می‌یابند. لذا با افزایش گُرنش، تخلخل افزایش و مقاومت ویژه سنگ کاهش می‌یابد.

نمونه‌های تراورتن و آهک ۳-۰۹۱۱ رفتاری بین دو حالت ذکر شده نشان می‌دهند. به عبارت دیگر در گُرنش‌های کم، بسته شدن منفذها و درزه‌های موجود و در گُرنش‌های زیاد، ایجاد درزه‌های القایی جدید و کاهش مقاومت ویژه الکتریکی مشاهده می‌شود. نتایج

- resistivity behaviour of sandstone during compression, in Moore, D. P., and Hungr, O., eds., Proceedings of the eighth International Congress IAEG, vol. 1. Rotterdam: Balkema, 543–550.
- Kate, J. M., and Rao, K. S., 1989, Effect of large overburden stress on geophysical behaviour of sandstones, in Maury, V., and Fourmaintraux, D., eds., Proceedings of the ISRM-SPE International symposium on rock at great depth, vol. 1. Rotterdam: Balkema, 171–178.
- Kate, J. M., and Sthapak, A. K., 1995, Engineering behaviour of certain Himalayan rocks, in Daemen, J. J. K., and Schultz, R. A., eds., Proceedings of the 35th US symposium on rock mechanics, Rotterdam: Balkema, 783–788.
- McNally, G. H., 1987, Estimation of coal measures rock strength using sonic and neutron logs: *Geoexploration*, **24**, 381–395.
- Patnode, W. H., and Wyllie, M. R. J., 1950, The presence of conductive solids in reservoir rocks as factor in electric log interpretation: *Petrol. Trans. AIME*, **189**, 47–52.
- Sharma, P. K.; and Singh, T. N., 2008, A correlation between P-wave velocity, impact strength index, slake durability index and uniaxial compressive strength: *Bulletin of Engineering Geology and the Environment*, **67**, 17–22.
- Schon, J. H., 1998, Physical properties of rocks, fundamentals and principles of petrophysics: 2nd. ed., Pergamon, Oxford, 583p.
- Slater, L., 2007, Near Surface Electrical Characterization of Hydraulic Conductivity: From Petrophysical Properties to Aquifer Geometries-A Review: Surveys in Geophysics, **28**, 169–197.
- Sousa, L. M. O.; dei Rio, L. M. S.; Calleja, L.; de Argandona; V. G. R.; and Rey, A. R., 2005, Influence of microfractures and porosity on the physico-mechanical properties and weathering of ornamental granites: *Eng. Geol.*, **77**, 153–168.
- Turgrul, A.; and Zarif, I., 1999, Correlation of mineralogical and textural characteristics with engineering properties of selected granitic rocks from turkey: *Eng. Geol.*, **51**, 303–317.
- Yasar, E.; and Erdogan, Y., 2004, Correlating sound velocity with the density, compressive strength and Young's modulus of carbonate rocks: *Int. J. Rock Mech. Min. Sci.*, **41**, 871–875.
- Ara, T., Bjorndalen, N., Talabani, S., and Islam, M. R., 2004, Predicting oil reserve in carbonate reservoirs: *EEC Innovation*, **2**, 20–43.
- Archie, G. E., 1942, The electrical resistivity log as an aid in determining some reservoir characteristics: *Trans. Am. Inst. Min. Metall. Pet. Eng.*, **146**, 54–62.
- Bilim, N., Ozkan, I., and Gokay, M. K., 2002, Determination of discontinuities at rock materials by electrical resistance method, in Sensogut., C., and Ozkan, I., eds., Proceedings of the seventh regional rock mechanical symposium Ankara: Kozan Ofset, 121–127.
- Brace, W. F., Orange, A. S., and Madden, T. R., 1965, The effect of pressure on the electrical resistivity of water-saturated crystalline rocks: *J. Geophys. Res.*, **70**, 5669–5678.
- Ghorbani, A., Cosenza, Ph., Revil, A., Zamora, M., Schmutz, M., Florsch, N., and Jougnot, D., 2009, Non-invasive monitoring of water content and textural changes in clay-rocks using spectral induced polarization: A laboratory investigation: *Appl. Clay Sci.*, **43**, 493–502.
- Glover, P. W. J., Gomez, J. B., and Meredith, P. G., 2000, Fracturing in saturated rocks undergoing triaxial deformation using complex electrical conductivity measurements: experimental study: *Earth and Planetary Science Letters*, **5621**, 201–213.
- Glover, P. J., Gomez, J., Meredith, P., Hayashi, K., Sammonds, P. R., and Murrell, S. A. F., 1997, Damage of Saturated Rocks Undergoing Triaxial Deformation Using Complex Electrical Conductivity Measurements: Experimental Results: *Phys. Chem. Earth*, **22** (1-2), 57–61.
- Inoue, M.; and Ohomi, M., 1989, Relation between uniaxial compressive strength and elastic wave velocity of soft rock, *Proceedings of the International Symposium on Weak Rock*: Tokyo, 9–13.
- Kahraman, S., 2001, Evaluation of Simple Methods for Assessing the Uniaxial Compressive Strength of Rock: *Int. J. Rock Mech. Min. Sci.*, **38**, 981–994.
- Kahraman, S., and Albert, M., 2006, Predicting the physico-mechanical properties of rocks from electrical impedance spectroscopy measurements: *Int. J. Rock Mech. Min. Sci.*, **43**, 543–553.
- Kate, J. M., and Gokhale, C. S., 1998, Electrical